

ФИЗИОЛОГИЯ  
ЖИВОТНЫХ И ЧЕЛОВЕКА

УДК 599.323.4:615.832.74:615.849.112.001.6

ГИСТОЛОГИЧЕСКАЯ ОЦЕНКА КОЖНЫХ ПОКРОВОВ ЛАБОРАТОРНЫХ КРЫС ПОСЛЕ ТЕРМИЧЕСКИХ ПОВРЕЖДЕНИЙ И ИХ КОРРЕКЦИИ НАНОСЕКУНДНЫМИ МИКРОВОЛНОВЫМИ ИМПУЛЬСАМИ

© 2023 г. А. А. Гостюхина\*, \*\*, \*\*\*, @, В. В. Ярцев\*\*, \*\*\*, \*\*\*\*, А. В. Самойлова\*, \*\*\*, \*\*\*\*,  
М. А. Большаков\*, \*\*\*, С. С. Евсеева\*\*, \*\*\*, В. М. Мочалова\*\*\*,  
К. В. Зайцев\*\*, О. П. Кутенков\*, В. В. Ростов\*

\*ФГУН Институт сильноточной электроники СО РАН, пр. Академический, 2/3, Томск, 634055 Россия

\*\*ФГБУ Федеральный научно-клинический центр медицинской реабилитации и курортологии

Федерального медико-биологического агентства, Московская обл., Солнечногорский р-н, д. Голубое, 141551 Россия

\*\*\*ФГАОУВО “Национальный исследовательский Томский государственный университет”,  
пр. Ленина, 36, Томск, 634050 Россия

\*\*\*\*ГБОУВПО “Сибирский государственный медицинский университет”

Министерства здравоохранения Российской Федерации, Московский тракт, 2, Томск, 634050 Россия

✉ E-mail: antariks-tomsk2015@yandex.ru

Поступила в редакцию 17.03.2022 г.

После доработки 21.12.2022 г.

Принята к публикации 13.02.2023 г.

На модели термического ожога кожных покровов лабораторных крыс показано, что после 4-кратного локального облучения наносекундным импульсно-периодическим микроволновым излучением (ИПМИ, 10 ГГц, длительность импульсов 100 нс, частота повторения импульсов 8 Гц, пиковая плотность потока мощности (ППМ) 140 Вт/см<sup>2</sup>) увеличивается скорость заживления ран за счет ускоренного образования грануляционной ткани и уменьшения толщины струпа, что обеспечивает безрубцовое заживание.

**Ключевые слова:** термический ожог, наносекундные импульсы, гистологический анализ, микроволновое излучение, лабораторные крысы

**DOI:** 10.31857/S1026347022100250, **EDN:** ТОРОХQ

По данным Минздрава в Российской Федерации уровень ожоговых травм среди взрослого населения составляет в среднем 50 случаев на 100 тысяч человек, среди детей – 80 на 100 тысяч. Термические ожоги занимают третье место среди прочих травм и выделены в отдельную рубрику в международной классификации болезней по МКБ-10 (Алексеев и др., 2016). Глубокие и обширные ожоги могут приводить к серьезным осложнениям, таким как сепсис (с развитием бактериальной инфекции), шок (вызванный гиповолемией), а также сокращение рубцовой ткани после неправильного заживания раны (Shpichka *et al.*, 2019).

В зоне ожоговой травмы неизбежно возникают инфицирование и воспаление, имеет место потеря белков, электролитов, воды, плазмы и другие варианты патологического реагирования. В связи с этим быстрое восстановление поврежденного кожного барьера является основным направлением лечения ожоговой патологии (Shpichka *et al.*, 2019). Поскольку стандартная методика аутотрансплан-

тации кожи имеет существенные ограничения и является дорогостоящей процедурой (Wood *et al.*, 2006; Atiyeh, Costagliola, 2007), в последние годы предприняты попытки разработки новых способов регенерации ожоговых травм, к которым может относиться метод коррекции импульсным микроволновым излучением. В научном сообществе использование тех или иных видов электромагнитного излучения (ЭМИ) в коррекции и лечении кожных травм вызывает ряд противоречий. Тем не менее, имеются данные о применении, в частности, электронных пучков для стерилизации аллогенных кожных трансплантатов человека (Labus *et al.*, 2022), о ранозаживляющем действии лазеротерапии (Rodrigo *et al.*, 2009) и регенеративном влиянии импульсных радиочастотных излучений (Гапеев, Чемерис, 2007; Athanasiou *et al.*, 2007; Strauch *et al.*, 2009; Гапеев, 2012). В этом плане перспективным представляется использование наносекундного импульсно-периодического микроволнового излучения (ИПМИ), для которого уже установлена способность стимулировать репаративную реге-

нериацию полнослойной кожной раны у лабораторных мышей (Князева и др., 2011). Кроме того, на предварительном этапе исследования данного фактора нами было показано, что наносекундное ИПМИ (10 ГГц, длительность импульсов 100 нс, частота повторения импульсов 8 Гц, пППМ 140 и 1500 Вт/см<sup>2</sup>) ускоряет процессы ранозаживления (Samoylova *et al.*, 2020; Гостюхина и др., 2022). Оказалось, что наиболее эффективным с точки зрения скорости заживления ран является облучение с интенсивностью – 140 Вт/см<sup>2</sup> (Гостюхина и др., 2022). Это представляет интерес для применения данного фактора в медицинской практике, поскольку указанный режим не превышает гигиенических уровней безопасного воздействия на организм (СанПин 2.2.4/2.1.8.055-96., 1996). Таким образом, полученные результаты исследования динамики заживления ожоговых ран после термических повреждений и коррекции наносекундным ИПМИ у лабораторных крыс требовали гистологического подтверждения.

Цель настоящей работы – провести гистологическую оценку состояния кожи лабораторных крыс после термических повреждений и их коррекции наносекундными микроволновыми импульсами с пППМ 140 Вт/см<sup>2</sup> и частотой повторения импульсов 8 Гц.

## МАТЕРИАЛЫ И МЕТОДЫ

Экспериментальное исследование выполнялось на 20 половозрелых самках крыс стока “Wistar” массой 230–250 г. Животные содержались в стандартных условиях вивария при естественном световом режиме и на стандартном рационе со свободным доступом к воде и пище. Все процедуры с животными выполнялись в одно и то же время (с 9:00 до 11:00). Исследование проводилось в соответствии с этическими нормами работы с лабораторными животными (ETS № 123) и санитарными правилами по устройству, оборудованию и содержанию экспериментально-биологических клиник (Правила лабораторной практики в Российской Федерации). На проведение исследования получено разрешение Комиссии по биоэтике Биологического института НИ ТГУ (протокол № 15 от 14.06.2019 г.).

Экспериментальные животные случайным образом разделялись на две группы по 10 особей в каждой:

1. Контрольная группа ( $n = 10$ ) – крысы, которые после моделирования термического ожога содержались в стандартных условиях вивария и не подвергались воздействию ИПМИ;

2. Опытная группа ( $n = 10$ ) – крысы, которые после моделирования термического ожога подвергались однократно в течение четырех дней локальному воздействию наносекундным ИПМИ с

пППМ 140 Вт/см<sup>2</sup> с частотой повторения импульсов 8 Гц.

**Моделирование термических ожогов.** За сутки до моделирования ожога на дорсальной поверхности тела крысы осуществляли депиляцию участка кожи путем выбивания электрической ветеринарной машиной. Бритье и моделирование ожога проводили под СО<sub>2</sub> наркозом. Термическую рану создавали прикладыванием без усилия на 30 с, разогретого до 100°C металлического стержня диаметром 2 см к поверхности кожи в межлопаточной области. Площадь повреждения в контрольной и опытной группах составляла в среднем  $340 \pm 18$  мм<sup>2</sup>, что соответствует 8–9% от площади поверхности тела.

В течение всего эксперимента крысы содержались по две особи в специальных клетках, разделенных между собой прозрачной перегородкой для исключения контакта животных друг с другом и взаимного влияния на процесс заживления ожоговой раны. Наблюдение за процессом заживления ран после 4-кратного облучения осуществляли в динамике у контрольных и опытных крыс вплоть до образования келоидного рубца.

Динамику заживления термических ожогов оценивали с помощью электронного штангенциркуля по уменьшению площади участка поврежденной кожи (Князева и др., 2011; Гостюхина и др., 2022) и фиксировали фотокамерой Sony-DSC-F717 (Япония) с последующим анализом фотографий.

**Облучение термических ожогов.** Через 5 ч после формирования ожога ежедневно в течение 4 последующих дней ожоговые раны лабораторных крыс подвергали однократному воздействию наносекундным ИПМИ (4000 импульсов за сеанс/день, пППМ 140 Вт/см<sup>2</sup>, частота повторения импульсов 8 Гц). Для локального воздействия на термическую рану и устранения возможности облучения всего организма остальная часть тела животных укрывалась радиопоглощающим материалом. Продолжительность однократного облучения с указанными параметрами воздействия составляла 8 минут. В качестве источника ЭМИ использовался импульсный лабораторный СВЧ-генератор (несущая частота 10 ГГц, длительность импульсов на полувысоте 100 нс). Во время воздействий животные в специальных пластиковых контейнерах диаметром 10 см и длиной 30 см помещали на расстоянии 20 см от рупора антенны генератора, в зоне сформировавшейся волны ИПМИ. При радиочастотном электромагнитном воздействии возможен нагрев тканей и, соответственно, повышение температуры облучаемой ткани, поэтому во время воздействия с помощью волоконно-оптического термометра МТ-4МО-1 (Россия) осуществляли температурный контроль. При использованной интенсивности ИПМИ температура нагрева

тканей в области раны не превышала 0,05°C. Выбор режима воздействия (длительность, пППМ, частота повторения) основан на результатах предыдущих исследований, как наиболее эффективно влияющего на скорость reparативной регенерации полнослойных кожных и термических ран (Князева и др., 2011; Гостюхина и др., 2022).

**Гистологический анализ.** На 30 день после моделирования термического ожога животных выводили из эксперимента путем передозировки CO<sub>2</sub>-наркоза. Для проведения гистологического анализа вырезали участок кожи, включающий пораженную и соседнюю интактную область. Гистологическую обработку материала проводили стандартными методиками (Коржевский, 2010; Exbrayat, 2013; Ярцев, 2019). После фиксации в 10% растворе забуференного формалина образцы кожи обезвоживали в растворах этанола возрастающей крепости (70, 95, 98%), просветляли в бутаноле и заливали в парафин. Срезы толщиной 5 мкм изготавливали на ротационном микротоме RMD-3000 (“MTPoint”, Россия) и переносили на предметные стекла с белок-глицериновым покрытием. Окраску полученных срезов осуществляли гематоксилином Майера–эозином и модифицированным азановым методом. Всего было получено 60 микропрепараторов. Микроскопию препаратов, изготовление снимков выбранных показательных образцов, а также измерения осуществляли с помощью микроскопа AxioLab A1, камеры Axio-CamERc 5s и программы ZEN 2 (“CarlZeissMicroscop”, Германия).

На микрофотоснимках измеряли общую площадь исследуемого фрагмента (ПФ, мкм<sup>2</sup>), площадь грануляционной ткани (ПГТ, мкм<sup>2</sup>), разрывов в исследуемом фрагменте (ПР, мкм<sup>2</sup>), толщину новообразованного эпидермиса (ТЭ, мкм) или длину раны – расстояние между краями раны (ДР, мкм) – для ран с неполной эпителилизацией. На основе первичных измерений рассчитывали относительную площадь грануляционной ткани (ОПГТ):

$$\text{ОПГТ} = \frac{\text{ПГТ}}{\text{ПФ}} \times 100 / \text{ПР} (\%). \quad (1)$$

Для сравнения экспериментальных групп использовали показатели ТЭ, ДР, ОПГТ.

**Статистическая обработка данных.** В ходе статистической обработки результатов гистологического анализа рассчитывали: среднее значение ( $\bar{x}$ ), минимум (min) и максимум (max), стандартное отклонение ( $\sigma$ ), стандартную ошибку средней ( $m_{\bar{x}}$ ), коэффициент вариации ( $Cv$ ), уровень значимости ( $p$ ). Для оценки характера распределения использовали критерий Краскела–Уоллиса. Для сравнения результатов групп применяли точный критерий Фишера и тест Стьюдента. При проверке статистических гипотез достоверным считали уровень значимости менее 5% ( $p < 0.05$ ).

## РЕЗУЛЬТАТЫ ИССЛЕДОВАНИЯ

Гистологический анализ показал, что на 30-е сутки эксперимента после моделирования ожогов и 4x-кратного облучения наносекундным ИПМИ с пППМ 140 Вт/см<sup>2</sup>, с частотой повторения импульсов 8 Гц термические раны у всех исследованных групп животных находились в фазе регенерации (рис. 1).

В контрольной группе полная эпителизация ран была выявлена в 33% случаев. Относительная площадь грануляционной ткани ( $t$ -test:  $t = -2.2$ ,  $p > 0.05$ ) и толщина новообразованного эпидермиса ( $t$ -test:  $t = 1.4$ ,  $p > 0.05$ ) у крыс данной группы с незавершенной эпителизацией ран (67%) не отличались от таковых с полной эпителизацией.

У облученных животных (опытная группа) в 67% случаев установлена полная эпителизация ожоговых ран. В данной группе крысы с незавершенной эпителизацией ран статистически отличались от таковых с полностью эпителизированными ранами по толщине новообразованного эпидермиса ( $t$ -test:  $t = 1.21$ ,  $p \leq 0.05$ ). Этот показатель оказался в 3.88 раза меньше толщины у животных с незавершенной эпителизацией раны (табл. 1).

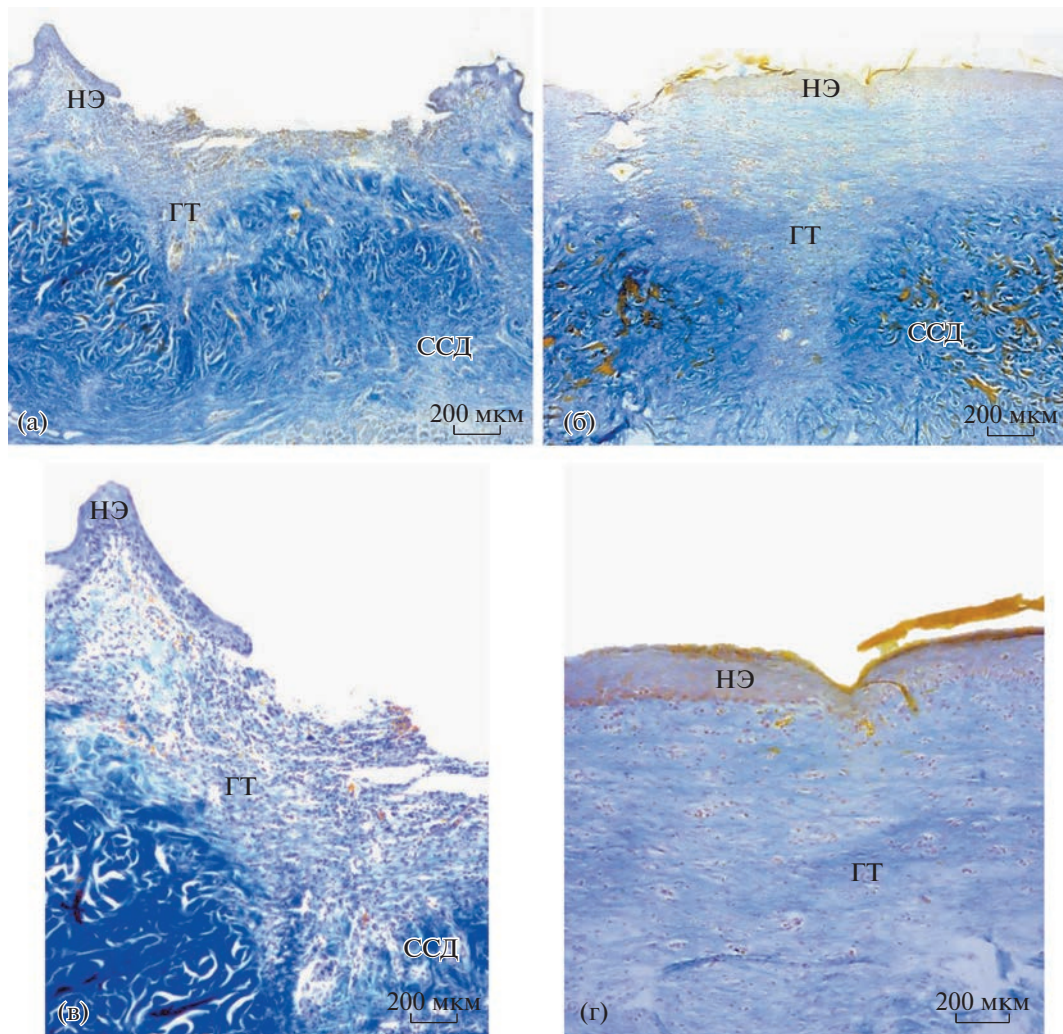
Сравнение показателей опытных и контрольных групп животных с не полностью эпителизированными ранами продемонстрировало статистически значимые различия по величине относительной площади грануляционной ткани ( $t$ -test:  $t = -2.37$ ,  $p \leq 0.05$ ), в то время как по толщине эпидермиса различия отсутствовали ( $t$ -test:  $t = -1.87$ ,  $p > 0.05$ ). После облучения раны имели в 4.22 раза большую относительную площадь грануляционной ткани по сравнению с таковыми у контрольных животных (табл. 1).

В случае с полной эпителизацией ран животные опытной и контрольной групп отличались только по площади грануляционной ткани ( $t$ -test:  $t = -3.83$ ,  $p < 0.05$ ), которая была в 5.66 раз больше у животных после облучения (табл. 1).

## ОБСУЖДЕНИЕ РЕЗУЛЬТАТОВ

Результаты работы подтвердили ранее полученные данные о том, что воздействие наносекундным ИПМИ с интенсивностью 140 Вт/см<sup>2</sup> с частотой повторения импульсов 8 Гц способствует ускорению процесса регенерации ожоговых ран (Гостюхина и др., 2022). По результатам гистологического анализа было установлено, что животные, термические травмы которых подверглись облучению, имели более выраженную степень эпителизации ран. При этом, вне зависимости от степени эпителизации у крыс после облучения наблюдался больший размер области грануляционной ткани по отношению к контрольной группе.

Из литературных источников следует, что заживление кожных ран представляет собой слож-



**Рис. 1.** Поперечные срезы центральной области ожоговых ран кожных покровов крыс контрольной (а, в) и опытной (б, г) групп на 30-е сутки заживления. Окраска модифицированным азановым методом НЭ – новообразованный эпидермис, ГТ – грануляционная ткань, ССД – сетчатый слой дермы.

**Таблица 1.** Показатели поврежденного участка кожных покровов крыс на 30-е сутки эксперимента после моделирования ожоговой травмы и 4-кратного воздействия наносекундным ИПМИ

Группа	Параметр		
	относительная площадь грануляционной ткани, $\text{мм}^2$	толщина newly образованного эпидермиса, мкм	длина раны, мм
	$\bar{x} \pm m_{\bar{x}}$	$\bar{x} \pm m_{\bar{x}}$	$\bar{x} \pm m_{\bar{x}}$
Крысы с не полностью эпителилизированными ранами после ожоговой травмы			
Контрольные	0.50 ± 0.20	49.22 ± 21.15	2.19 ± 0.70
Опытные	2.39 ± 1.86	37.71 ± 53.32	4.85 ± 5.07
Крысы с полностью эпителилизированными ранами после ожоговой травмы			
Контрольные	0.27 ± 0.03	65.21 ± 10.31	
Опытные	1.53 ± 1.05	146.33 ± 116.99	

ное взаимодействие между разными типами клеток, цитокинами и нейрососудистой системой (Fox *et al.*, 2008). Использование новых технологий регенерации ткани способно заметно улучшать восстановление кожи, в частности, посредством реэпидермизации, ангиогенеза и заселения гипертрофических рубцов и келоидов (Sakallioglu *et al.*, 2006). Известно, что ЭМИ разных диапазонов и интенсивностей также способно стимулировать репаративную регенерацию в поврежденных тканях (Бессонов и др., 2000; Лушников и др., 2003; Rodrigo *et al.*, 2009; Strauch *et al.*, 2009) за счет усиления кальций-кальмодулинового связывания в клетках и активации NO-синтетазы (Pilla, 2008; Strauch *et al.*, 2009). Поэтому, не исключено, что наносекундное ИПМИ обладает аналогичным биологическим эффектом.

Увеличение толщины новообразованного эпидермиса после облучения указывает на то, что возможный эффект воздействия ИПМИ связан с активацией фибробластов. Фибробlastы, являясь основными клетками дермы, производят коллаген, эластин и протеогликаны, важные компоненты межклеточного вещества, а также секретируют различные факторы роста (TGF- $\beta$ ) и цитокины (TNF- $\alpha$ ) (Bainbridge, 2013; Tracy *et al.*, 2016). Такой потенциальный набор мишней влияет не только на элементы дермы, но и на пролиферацию и дифференцировку кератиноцитов (Wang *et al.*, 2007). Помимо этого, фибробласты являются важным компонентом процесса ранозаживления, поскольку участвуют в образовании и увеличении размеров грануляционной ткани, что продемонстрировано в ходе гистологического исследования. Не исключено, что участие ИПМИ в активации фибробластов может быть важнейшим вариантом успешного ранозаживления.

Таким образом, полученная гистологическая картина регенерации кожных покровов крыс после моделирования термического повреждения и локального облучения наносекундным ИПМИ позволяет утверждать, что использование данного энергетического воздействия для заживления ран представляет перспективное направление для разработки новых технологий в области косметологии и комбустеологии. Для их успешного продвижения в практическое использование требуются соответствующие доклинические и клинические исследования.

## СПИСОК ЛИТЕРАТУРЫ

- Алексеев А.А., Бобровников А.Э., Малютина Н.Б. Экстренная и неотложная медицинская помощь после ожоговой травмы // Медицинский алфавит. 2016. Т. 2. № 15(278). С. 6–12.
- Бессонов А.Е., Чемерис Н.К., Ганеев А.Б. Репаративная регенерация тканей под воздействием электромагнитных волн миллиметрового, инфракрасного и

части видимого диапазонов, генерируемых терапевтическим аппаратом “Минитаг” НИР НЦИМ “ЛИДО” // Физ.-хим. основы информ. медицины. ИБК РАН. Пущино. 2000. С. 18.

Ганеев А.Б., Чемерис Н.К. Механизмы биологического действия электромагнитного излучения крайне высоких частот на уровне организма // Биомедицинская радиоэлектроника. 2007. № 8–9. С. 30–46.

Ганеев А.Б. Механизмы противовоспалительного и противоопухолевого действия низкоинтенсивного электромагнитного излучения крайне высоких частот // Миллиметровые волны в биологии и медицине. 2012. № 3. С. 3.

Гостюхина А.А., Самойлова А.В., Большаков М.А., Мочалова В.М., Зайцев К.В., Кутенков О.П., Ростов В.В. Стимуляция заживления ожоговых ран у крыс наносекундным импульсно-периодическим микроволновым излучением // Известия РАН. Серия биологическая. 2022. № 5. С. 530–537.  
<https://doi.org/10.31857/S1026347022050080>

Князева И.Р., Медведев М.А., Жаркова Л.П., Гостюхина А.А., Кутенков О.П., Ростов В.В., Большаков М.А. Действие наносекундного импульсно периодического микроволнового излучения на процессы регенерации // Бюллетень сибирской медицины. 2011. № 6. С. 109–113.

Коржевский Д.Э. Основы гистологической техники. Санкт-Петербург: СпецЛит, 2010. 95 с.

URL: <http://sun.tsu.ru/limit/2016/000550786/000550786.pdf>.

Лушников К.В., Ганеев А.Б., Шумилина Ю.В. Снижение интенсивности клеточного иммунного ответа и неспецифического воспаления при действии электромагнитного излучения крайне высоких частот // Биофизика. 2003. Т. 38. № 5. С. 918–925.

Ярцев В.В. Основы гистологической техники для зоологов: учебно-методическое пособие для биологических специальностей вузов [для студентов, обучающихся по направлению 06.04.01 Биология / авт.-сост.]. М-во науки и высш. образования, Нац. исслед. Том. гос. ун-т. Томск: Издательский Дом Томского государственного университета, 2019. 84 с.

URL: <http://vital.lib.tsu.ru/vital/access/manager/Repository/vtis:000660316>.

Athanasiou A., Karkambounas S., Batistatou A. The effect of pulsed electromagnetic fields on secondary skin wound healing: an experimental study // Bioelectromagnetics. 2007. V. 28. P. 362–368.

Atiyeh B.S., Costagliola M. Cultured epithelial autograft (CEA) in burn treatment: three decades later // Burns. 2007. V. 33. P. 405–413.

Bainbridge P. Wound healing and the role of fibroblasts // J. Wound Care. 2013. V. 22. № 8. P. 407–412.

Exbrayat J.M. Classical methods of visualization. Histochemical and cytochemical methods of visualization / Boca Raton, London, N.Y.: CRC Press Taylor and Francis Group, 2013. 367 p.

Fox A., Smythe J., Fisher N., Tyler M.P.H., McGrouther D.A., Watt S.M., Harris A.L. Mobilization of endothelial progenitor cells into the circulation in burned patients // Br J Surg. 2008. V. 95. P. 244–251.

- Labus W., Kitala D., Klama-Baryla A., Szapski M., Kraut M., Smętek W., Glik J., Kucharzewski M., Rojczyk E., Ultra-ta-Wesolek A., Trzebicka B., Szeluga U., Sobota M., Poloczek R., Kamiński A.* Influence of electron beam irradiation on extracellular matrix of the human allogeneic skin grafts J Biomed Mater Res B Appl Biomater. 2022. V. 110(3). P. 547–563.  
<https://doi.org/10.1002/jbm.b.34934>
- Pilla A.* Proposed electrochemical mechanism of EMF modulation of tissue repair // Thebioelectromagnetic society 30th annual meeting abstract collection, San Diego, California. 2008. P. 147.
- Rodrigo S.M., Cunha A., Pozza D.H., Blaya D.S., Moraes J.F., Blessmann J.B., Weber, Oliveira M.G.* Analysis of the systemic effect of red and infrared laser therapy on wound repair // Photomed Laser Surg. 2009. V. 27(6). P. 929–935.  
<https://doi.org/10.1089/pho.2008.2306>
- Sakallioglu E.A., Basaran O., Ozdemir B.H., Arat Z., Yucel M., Haberal M.* Local and systemic interactions related to serum transforming growth factor- $\beta$  levels in burn wounds of various depths // Burns. 2006. V. 32. P. 980–985.
- Samoylova A.V., Gostyukhina A.A., Rostov V.V., Bolshakov M.A., Zaitsev K.V., Kutenkov O.P.* Dynamics of Burn Wound Healing in Rats Irradiated by Nanosecond Microwave Pulses // Biomedical J. Scientific and Technical Research. 2020. V. 32. № 2. P. 24791–24792.
- Shpichka A., Butnaru D., Bezrukov E.A., Sukhanov R.B., Atal A., Burdakovskii V., Zhang Yu., Timashev P.* Skin tissue regeneration for burn injury // Stem Cell Research & Therapy. 2019. V. 10. № 94.  
<https://doi.org/10.1186/s13287-019-1203-3>
- Strauch B., Herman C., Dabb R., Ignarro L.J., Pilla A.A.* Evidence-based use of pulsed electromagnetic field therapy in clinical plastic surgery // Aesthet. Surg. J. 2009. № 29(2). P. 135–143.  
<https://doi.org/10.1016/j.asj.2009.02.001>
- Tracy L.E., Minasia R.A., Caterson E.J.* Extracellular matrix and dermal fibroblast function in the healing wound // Adv Wound Care. 2016. V. 5. P. 119–136.
- Wang J.H.C., Thampatty B.P., Lin J.S., Im H.J.* Mechano-regulation of gene expression in fibroblasts. Gene. 2007. V. 391. P. 1–15.
- Wood F.M., Kolybaba M.L., Allen P.* The use of cultured epithelial autograft in the treatment of major burn injuries: a critical review of the literature // Burns. 2006. V. 32. P. 395–401.

## Histological Assessment of the Laboratory Rats Skin after Thermal Damages Treated with Nanosecond Microwave Pulses

**A. A. Gostyukhina<sup>1, 2, 3, #</sup>, V. V. Yartsev<sup>2, 3, 4</sup>, A. V. Samoylova<sup>1, 3, 4</sup>, M. A. Bolshakov<sup>1, 3</sup>, S. S. Evseeva<sup>2, 3</sup>, V. M. Mochalova<sup>3</sup>, K. V. Zaitsev<sup>2</sup>, O. P. Kutenkov<sup>1</sup>, and V. V. Rostov<sup>1</sup>**

<sup>1</sup> Institute of High Current Electronics SB RAS, Akademichesky Ave., 2/3, Tomsk, 634055 Russia

<sup>2</sup> Federal Scientific and Clinical Center of Medical Rehabilitation and Balneology of the Federal Medical and Biological Agency of Russia, Goluboe village, Solnechnogorsk district, Moscow region, 141551 Russia

<sup>3</sup> National research Tomsk State University, Lenin Str., 36, Tomsk, 634050 Russia

<sup>4</sup> Siberian State Medical University of the Ministry of Health of the Russian Federation, Moscow tract, 2, Tomsk, 634050 Russia

#e-mail: antariks-tomsk2015@yandex.ru

The effect of nanosecond repetitively pulsed microwave radiation (RPMR, 10 GHz, 100 ns pulse duration, 8 Hz pulse repetition rate, 140 W/cm<sup>2</sup> peak power flux density (pPFD)) on the treatment of a model thermal burn of the skin of laboratory rats was investigated. It is established that after 4-fold local irradiation, the rate of wound healing increases; it is due to the accelerated formation of granulation tissue and a decrease in the thickness of the scab, which ensures scarless healing.

**Keywords:** burn wound, nanosecond pulses, microwave radiation, histology, rats